

京都大学防災研究所 正員 今本博健

1. 乱れ特性量の普遍函数表示

前報<sup>1)</sup>においては, Reynolds 数の十分大なる二次之開水路流における基底的乱れ特性量, すなわち, 乱れの強さ  $U'$ , Euler の平均ストール  $L_E$ , エネルギー-逸散量  $\epsilon$  による普遍函数表示について取り扱ひ, 乱れの強さの普遍函数表示として<sup>2)</sup>の結果を得た。すなわち, Taylor<sup>3)</sup>によるこれらの量値の關係式

$$\epsilon \sim \frac{U'^3}{L_E}, \quad \text{i.e.} \quad \epsilon = C_L \frac{U'^3}{L_E} \quad (C_L: \text{universal constant, } C_L \approx 1.77) \quad (1)$$

において,  $L_E$  については Engelund<sup>3)</sup>による次元解析的考察より,

$$\frac{L_E}{(U'/u_*')^4 H} = \phi_E\left(\frac{z}{H}\right) \quad \text{or} \quad \frac{T_E}{\frac{H}{u_*'}} = \phi_{T_E}\left(\frac{z}{H}\right) \quad (2)$$

と表わし, また,  $\epsilon$  については乱れのエネルギー-式における生成項より類推し

$$\frac{\epsilon}{\frac{U'^3}{H}} = \phi_\epsilon\left(\frac{z}{H}\right) \quad (3)$$

と仮定すると, (2)および(3)式を(1)式に用いることにより,  $U'$  に対する普遍函数表示として<sup>2)</sup>の結果が得られる。 $\frac{U'}{u_*' (L_E/H)^{1/4}} = \phi_U\left(\frac{z}{H}\right)$  (4)

ここに,  $u_*'$ : 局所的平均流速,  $u_*'$ : 摩擦速度,  $H$ : 水深,  $z$ : 路床からの鉛直距離であり,  $\phi$  はそれぞれをその suffix に示された乱れ特性量に関する普遍函数である。

Mohin-Obukov の相似則において, 長さのストールとして水深を用いると,  $U'$  に対する普遍函数は<sup>2)</sup>のようになる。 $\frac{U'}{u_*'} = \phi_U\left(\frac{z}{H}\right)$  (4')

(4)式と(4')式とを比較すると, (4)式には  $(\frac{L_E}{u_*' H})^{1/4}$  のパラメータとして入っており, 流速分布が defect-law で表わされても, 断面平均流速あるいは最大平均流速と摩擦速度との比, すなわち抵抗係数による乱れの強さは変化し,  $U'/u_*' (\frac{L_E}{u_*' H})^{1/4}$  という値が  $\phi_U$  の universal function となるのに対し, (4')式ではこれらの値に拘わらず普遍函数表示が可能となることを示している。

(3)および(4)式を(1)式に用いると,  $L_E$  に対する普遍函数は<sup>2)</sup>のようになる。

$$\frac{L_E}{H} = \phi_{L_E}\left(\frac{z}{H}\right) \quad (2')$$

$L_E$  の測定には計測ストールの効果があるとして, 計測ストールの異なる乱れ計測より求められた  $L_E$  値一的に比較することは困難なため,  $U'$  の計測結果について検討することにする。

$U'$  の計測結果 (4) 式および(4')式にもついで整理すると, Fig. 1 のようになる。Fig. 1 によると,  $U'$  の普遍函数表示としては(4)式の方が妥当なようであるが, 開水路流の乱れ計測は開水路の場合より, 摩擦速度について若干の誤差が含まれるため, 今後さらに詳細な検討が必要である。

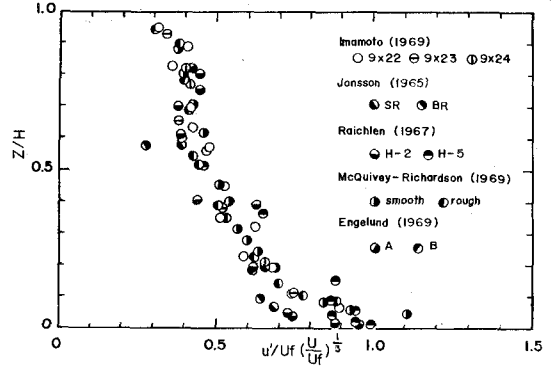
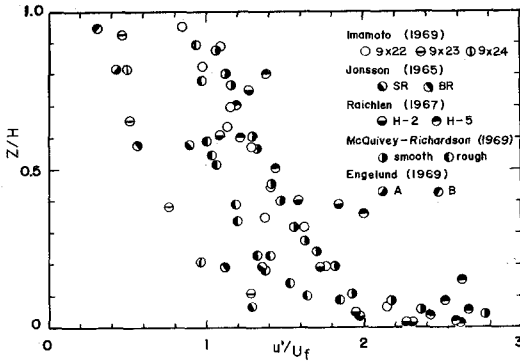


Fig. 1 乱れ強度と相対水深との関係

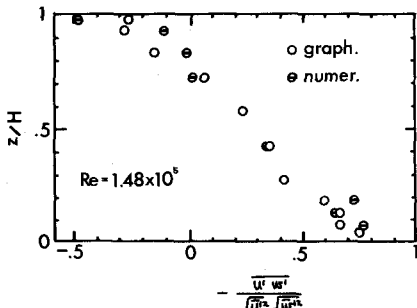


Fig. 2  $u'w'$  と相対水深との関係

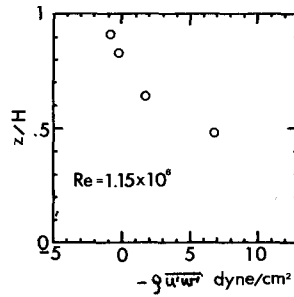


Fig. 3 Reynolds応力と相対水深との関係

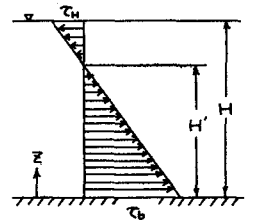


Fig. 4 Reynolds応力の分布形の近似の表示

2. Reynolds応力の分布形による修正

1. において、乱れ特性量の相対性で規定する水理量として摩擦速度および水深の重要とをここで示されたが、実際の曲水路流では、最大流速が水面より若干下、に存在し、水面付近のせん断力の値とを現象がしばしば認められ、Reynolds応力の分布形による修正が必要となる。

Fig. 2は Smutek<sup>4)</sup>による  $u'w'$  と  $u'$  の相関係数の計測結果で、Fig. 3は上野<sup>5)</sup>による Reynolds応力の計測結果を示したものであるが、これらの結果より、Reynolds応力の分布形を Fig. 4のように仮定する。すなわち、

$$\tau = \tau_b \left(1 - \frac{z}{H}\right) = \tau_b \left(1 - \frac{z}{H'}\right) \quad H' = \frac{\tau_b + \tau_0}{\tau_b} H \quad (5)$$

ここに、 $\tau_b$  および  $\tau_0$  は、それぞれ、路床および水面におけるせん断力である。

この場合の平均流速分布は Zagustin<sup>6)</sup> の混合距離理論を用いて求めることができる。

$$\frac{U_H - U}{U_b} = \frac{z}{H} \tanh^{-1} \left(1 - \frac{z}{H'}\right)^{3/2} \quad (6)$$

(6)式より、velocity defect-lawの表示として、 $\tau_0 = 0$ の場合と比較して、 $H \neq H'$ に置き換える必要はないとわかる。乱れ特性量の相対性で示す普遍函数表示については、平均流速分布に対するような単純な置き換えるが成立するかどうかは、現在のこと、乱れ計測に Reynolds応力の計測が含まれたものから余りにも少ないため検討できず、今後の研究に待たねばならない。

参考文献

- 1) 今本, 昭和三十五年南西技術教育講演会講演概要, II-34, 1970-5.
- 2) Taylor, G. I., Proc. Roy. Soc., A151, 1935.
- 3) Englund, F., Jour. Hy. Div., Proc., ASCE, HY4, 1969-7.
- 4) Smutek, R., Jour. Hy. Div., Proc., ASCE, HY1, 1969-1.
- 5) 上野, 京大修士論文, 1969-3.
- 6) Zagustin, A. and Zagustina, K., La Houille Blanche, No. 2, 1969.